

阪神高速道路公団 正員 角莊 淳
 京都大学工学部 正員 四田 清
 京都大学工学部 学生員 緑永博文

1. まえがき

鋼纖維補強コンクリートは、普通コンクリートの引張強度特性を改善することによりその脆性的破壊を防ぐことが可能であり、近年研究・開発が進んでいる。一方、構造物に数多く用いられているディープビームはその破壊形式が、メカニズムの複雑なせん断破壊が中心となるためにせん断補強方法についての研究が望まれている。そこで、本研究では鋼纖維補強コンクリートをディープビームに用いた場合のせん断補強効果を明らかにする目的で実験を行った。そして、その破壊形式・破壊耐力等を中心に検討し、鋼纖維のせん断補強効果およびせん断破壊耐力算定式について考察した。

2. 実験方法

(1) 使用材料およびコンクリート配合:セメントは普通ポルトランドセメント、骨材は愛知川産川砂(FM=3.0)と鞍馬産碎石(最大寸法15mm),主鉄筋はSD35(D10,D16)腹鉄筋に丸鋼(ø6)を使用した。鋼纖維には冷間延鋼板切断法による異形鋼纖維(0.25×0.5×25mm,アスペクト比62.5)を使用した。鋼纖維混入率は0.3,0.6,1.2%vol.とした。コンクリート配合を表-1に示す。

(2) 供試体および試験方法:供試体は10cm×30cm(有効高さ27cm)の矩形断面で、スパンは36cm,74cm(モーメントスパンは20cm)とした。主鉄筋の両端には定着板(10×10×0.9cm)を溶接し、腹鉄筋は主鉄筋に垂直と平行で等間隔(5~6cm)に配置した。載荷は2点集中載荷とした。鉄筋比とせん断スパン長/有効高さ α/d の値を表-2に示す。

3. 実験結果および考察

実験結果を表-2に示す。また、斜めひびわれ耐力比および破壊耐力比と鋼纖維混入率との関係を図-2および図-3に示す。

(1) 破壊形式:表-2の中の破壊形式を図-1に示し、次に説明する。

Mode I 載荷点と支点とを結ぶ斜めひびわれの発生と同時に起こる割裂破壊

Mode II 載荷点付近のコンクリートの押し抜きにより、斜めひびわれが圧縮域にまで貫通するせん断斜め破壊

Mode III 主鉄筋の定着板とコンクリートの界面に起こる定着破壊

Mode IV 主鉄筋の降伏による曲げ破壊またはせん断圧縮破壊

(2) 斜めひびわれ耐力:鋼纖維混入による斜めひびわれ耐力の向上は、腹鉄筋補強の場合と同様に少なく無補強の普通コンクリートと同一と見なせる。

(3) 終局耐力:Mode I,IIで破壊するタイプ($\alpha/d=0.3$)の場合は、1.2%vol.の鋼纖維混入により無補強の普通コンクリートに比べて約1.3~1.5倍のせん断破壊耐力の向上が見られる。一方、 $\alpha/d=1.0$ の場合は破壊形式もばらつき、鋼纖維混入による補強効果は明確とはならなかった。しかし、全般的に見ると1.2%vol.

表-1 コンクリート配合と諸特性

配合名	単位	W	C	S	G	$\frac{F_{\text{tens}}}{F_{\text{c}}}$	$\frac{F_{\text{tens}}}{F_{\text{c}}}$	$\frac{F_{\text{tens}}}{F_{\text{c}}}$	$\frac{F_{\text{tens}}}{F_{\text{c}}}$	E	Fiberの割合 vol.
P		211	352	882	899	0	50	18.5	279	23.6	421
S		211	352	882	899	0	50	15.0	259	22.3	35.5
X		222	370	926	804	23.4 (0.3)	54	14.5	293	24.8	54.7
Y		224	374	935	779	46.8 (0.6)	55	14.5	308	29.0	79.6
Z		243	405	1013	606	93.6 (1.2)	63	9.0	297	36.5	110.5
											24.1

表-2 実験結果

供試体 記号	鉄筋比 %	$\frac{F_{\text{tens}}}{F_{\text{c}}}$	鋼纖維強度比			せん断耐力 F_{tens} (kg/cm²)	せん断耐力 F_{tens} (kg/cm²)	せん断耐力 F_{tens} (kg/cm²)	せん断耐力 F_{tens} (kg/cm²)	せん断耐力 F_{tens} (kg/cm²)	せん断耐力 F_{tens} (kg/cm²)
			混入率 %	引張強度 率 (%)	せん断強度 率 (%)						
PA- 2	0	—	—	—	—	—	1.7	2.0	2.5	2.8	—
PA- 3	0.3	0	—	—	—	—	2.0	2.5	2.5	3.0	—
XA- 2	0.3	0	—	—	—	—	1.7	2.1	2.6	2.8	—
YA- 2	0.6	—	—	—	—	—	1.9	2.5	3.2	3.5	—
ZA- 1	1.2	—	—	—	—	—	2.2	2.5	3.8	5.9	—
SA- 2	0	1.73	35.2	35.2	35.2	—	1.7	2.0	2.5	2.8	—
PB- 1	1.47	0	—	—	—	—	2.5	2.0	2.4	2.0	—
PB- 2	0	—	—	—	—	—	2.5	2.0	2.4	2.0	—
PB- 3	0	—	—	—	—	—	2.5	2.0	2.4	2.0	—
XB- 2	0.3	0	5.0	5.0	5.0	—	6.0	6.5	7.0	7.5	—
YB- 2	0.6	—	—	—	—	—	13.0	13.5	14.0	14.5	—
ZB- 1	1.2	—	—	—	—	—	7.0	14.0	23.0	33.0	—
ZB- 2	0	1.65	2.5	2.5	2.5	—	17.0	18.0	25.0	32.0	—
PC- 1	0	—	14.5	14.5	14.5	—	19.0	20.0	25.0	25.0	—
PC- 2	0	—	14.5	14.5	14.5	—	19.0	20.0	25.0	25.0	—
XC- 1	0.3	—	—	—	—	—	18.0	22.0	27.5	27.5	—
YC- 2	0.3	0	16.5	16.5	16.5	—	24.0	26.5	30.0	32.5	—
ZC- 1	0.6	0	23.0	23.0	23.0	—	26.0	28.0	30.0	34.3	—
ZC- 2	1.2	—	34.0	34.0	34.0	—	34.0	35.0	35.0	35.0	—
SC- 2	0	1.73	22.5	22.5	22.5	—	24.0	16.0	33.0	32.0	—
PD- 2	0.53	0	—	—	—	—	30.0	14.0	15.0	15.0	—
XD- 1	0.3	0	—	—	—	—	5.5	11.5	16.5	16.5	—
YD- 2	1.0	0.6	—	—	—	—	5.0	11.5	14.0	14.0	—
ZD- 1	1.2	—	—	—	—	—	6.0	11.5	17.0	17.0	—
ZD- 2	1.2	—	—	—	—	—	5.0	14.0	18.4	18.4	—
SD- 2	0	1.65	2.5	2.5	2.5	—	5.0	11.0	16.4	16.4	—

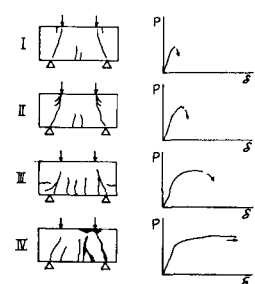


図-1 鋼纖維補強コンクリートDeep Beamの破壊モード

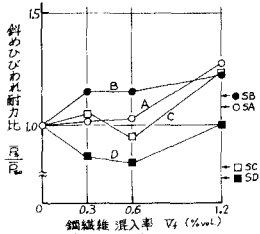


図-2 鋼纖維混入率と斜めひびわれ耐力比

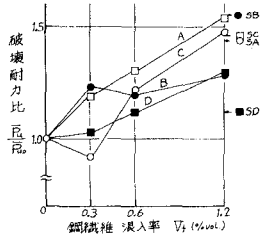


図-3 鋼纖維混入率と破壊耐力比

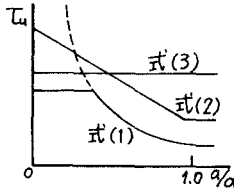


図-4 耐力式の比較

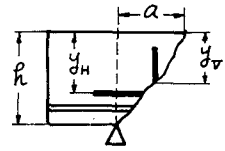


図-5 腹鉄筋の位置

の鋼纖維を混入したものは、 $a/d = 0.3, 1.0$ いずれの場合も腹鉄筋と同等あるいはそれ以上の補強効果があった。

(4) RCディープビームのせん断破壊耐力についての考察（破壊形式がⅠとⅡの場合）

(i)せん断補強のない場合 従来の研究により次のような算定式が提案されている。

$$ACI 318-71 \quad T_c = (3.5 - 2.5 \frac{M_u}{S_{u,d}}) T_c \leq 1.5 \sqrt{T_c}$$

$$T_c = 0.504 \sqrt{T_c} + 176 \frac{S_{u,d}}{M_u}$$

Paiva ら

$$T_c = 0.8(1 - 0.6 \frac{a}{h}) T_c$$

$$T_c = 14 + 0.188 \frac{a}{h} + 1498 p \quad 0 \leq \frac{a}{h} \leq 1$$

Ramakrishnan ら $P_u = \pi \rho_e b h$

以上の式で計算された値と実験値とを比較すると、式(i)では安全側を示し、 $a/d = 1.0$ の場合は式(2)が、 $a/d = 0.3$ の場合は式(3)が比較的良好く合う。上記三式の関係は図-4 のようになる。

(ii)せん断補強された場合

a)腹鉄筋 腹鉄筋によるせん断補強効果は式(4)によって評価することができる。この場合の梁の耐力算定式としては、無補強普通コンクリートの受けもつ力 S_p と腹鉄筋の受けもつ力 S_w との和とした累加強度式が一般に用いられており、表-3 に示すように実験値と計算値とは良く合っている。

$$S_i = S_p + S_w, \quad S_w = \frac{C_s \cdot A_w}{h((\gamma_m)^2 \cdot 1)} \{ 2Y_h + (\frac{a}{h})^2 Y_v \} \quad (4)$$

$C_s = \sigma_y, A_w$: 腹鉄筋 1 本当りの断面積
 Y_h, Y_v は図-5 に示す。

b)鋼纖維 鋼纖維によるせん断補強機構は、せん断摩擦理論によって説明できると考えられる。すなむら、鋼纖維とコンクリートとの付着力 T_A によって斜めひびわれ面に垂直力 C が発生し、斜めひびわれ面に沿った一様なせん断摩擦抵抗力 s を生じる。そして、この鉛直方向成分 S_f によって梁のせん断破壊に対して抵抗するものと考える。これらの力を図-6 に示す。つまり、 $C = T_A$ 、 $S = C \tan \phi$ とすると、

$$S_i = S_p + S_f, \quad S_f = S \sin \theta = T_A \tan \phi \sin \theta = 2a^2 V_f (\frac{a}{h}) T_b b h \tan \phi \quad (5)$$

この式で V_f はアスヤクト比であり、配筋係数 α 、平均付着力 T_b 、摩擦係数 $\tan \phi$ を次のよう仮定してせん断破壊耐力 S_i を求める。 $a/d = 0.3$ で $\alpha = 0.6$ 、 $a/d = 1.0$ で $\alpha = 0.5$ 、 $T_b = 26 \text{ kg/cm}^2$ 、 $\tan \phi = 1/4$ 。算定式と実験値との関係は、表-3、図-7 に示すようにかなり一致する。

4.まとめ

鋼纖維補強RCディープビームのせん断破壊耐力の増加は、鋼纖維とコンクリートとの付着効果によって説明することができます。また、鋼纖維のせん断補強効果は式(5)の S_i によって評価できる。

供試体	補強有無強度無		式 (4)		$S_i = S_p + S_w$	
	$S_p = P_u$	$S_w = (S_u - S_p)/S_w$	S_i	S_u/S_i	S_i	S_u/S_i
SA	18.8	13.1	4.6	1.24	15.7	1.20
SC	16.5	11.3	4.6	1.13	15.7	1.05

供試体	補強有無強度無		式 (5)		$S_i = S_p + S_f$	
	$S_p = P_u$	$S_f = (S_u - S_p)/S_f$	S_i	S_u/S_i	S_i	S_u/S_i
YA	15.9	13.1	3.0	0.93	14.1	1.09
ZA	19.4	13.1	6.0	1.05	17.1	1.13
YB	11.6	7.0	2.1	2.19	10.9	1.03
ZB	12.4	7.0	4.2	1.29	13.0	1.01
YC	14.6	11.3	3.0	1.10	14.1	1.04
ZC	17.3	11.3	6.0	1.00	17.1	1.01

(S_p, S_w, S_f, S_u の単位は kg/cm^2)

表-3 腹鉄筋および鋼纖維の補強効果式と累加強度式

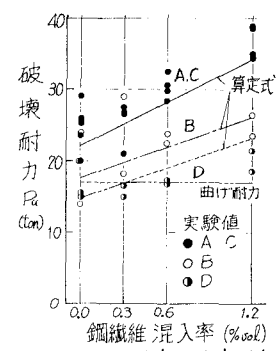


図-7 鋼纖維混入率と破壊耐力
(算定式と実験値との比較)